



# STATICKÉ POSOUZENÍ

**Akce: Prověření možnosti realizace nástavby  
na objektu stávající mateřské školy (včetně přístavby)  
Ke školce 57, Chýně**

**Číslo zakázky: 1434**

**Počet stran: 6 + 23 = 29**

**Datum: 20.12.2014**

**Zpracovatel: Ing. Zdeněk Tuček**

**Tel: 606845911**



*[Handwritten signature over the stamp]*

## **Statické posouzení**

### **1. Úvod**

Kapacitu mateřské školy v obci Chýně je třeba zvýšit. Je proto uvažováno, že na stávajícím objektu školky (případně také na objektu přístavby) bude zřízena nástavba.

Je třeba posoudit statickou únosnost nosných konstrukcí stávajících objektů a prověřit možnost realizace nástavby.

Statické posouzení prověřuje možnost realizace nástavby na objektu stávající mateřské školy (včetně přístavby). Statické posouzení předpokládá zvýšení objektu o jedno podlaží.

### **2. Podklady a literatura**

- ČSN 73 0035 Zatížení stavebních konstrukcí,
- ČSN EN 1991-1-1 Eurokód 1: Obecná zatížení,
- ČSN EN 1991-1-3 Eurokód 1: Zatížení sněhem,
- ČSN EN 1991-1-4 Eurokód 1: Zatížení větrem,
- ČSN EN 1992 Eurokód 2: Betonové konstrukce,
- ČSN EN 1993 Eurokód 3: Ocelové konstrukce,
- ČSN EN 1996 Eurokód 6: Zděné konstrukce,
- ČSN EN 1998 Eurokód 8: Konstrukce odolné proti zemětřesení,
- ČSN EN 1997 Eurokód 7: Navrhování geotechnických konstrukcí (výpočet únosnosti plošného základu dle EN 1997-1, přílohy D),
- ČSN 73 1401 Navrhování ocelových konstrukcí,
- ČSN 73 1201 Navrhování betonových konstrukcí,
- ČSN 73 1001 Základová půda pod plošnými základy,
- ČSN 73 1101 Navrhování zděných konstrukcí,
- ČSN 73 0038 Navrhování a posuzování stavebních konstrukcí při přestavbách,

*Prověření možnosti realizace nástavby na objektu stávající mateřské školy (včetně přístavby)  
Ke školce 57, Chýně  
Statické posouzení*

- ČSN ISO 13822 (730038) Zásady navrhování konstrukcí - Hodnocení existujících konstrukcí,
- TP 4 - Novák: Statika stavebních konstrukcí,
- TP51 – Statické tabulky pro stavební praxi,
- Československý katalog pro výstavbu - 1988, konstrukce stropů [6],
- Rochla: Stavební tabulky - 1987 [7],
- Fantyšová: Vodorovné dělící konstrukce – 1968 [8],
- Pume, Čermák: Průzkumy a opravy stavebních konstrukcí,
- Witzany: Rekonstrukce staveb,
- Studnička: Navrhování ocelových konstrukcí,
- katalogy firmy Wienerberger,
- Hula: Zakládání staveb,
- SCIA DESIGN FORMS – statický software,
- RIB – statický software pro návrh stavebních konstrukcí,
- Mateřská škola 30 dětí – Chýně, PD z roku 1975 (včetně části Statika), zpracovatel: Okresní výstavbové bytové družstvo, projekční středisko [1],
- Posouzení nosných konstrukcí pro úpravy a rozšíření kapacity objektu MŠ Chýně, statické posouzení r. 2008, Ing. Luboš Podolka [2],
- Dostavba mateřské školy Chýně, dokumentace skutečného provedení stavby z roku 2011, zpracoval: Ing. Jan Špaček [3],
- Stavební úpravy stávající mateřské školky v obci Chýně, PD z roku 2013, zpracoval: Ing. Jan Vlček [4],
- Dostavba MŠ Chýně, inženýrsko-geologický průzkum, zpracoval: RNDr. Vilém Sýkora [5].

### **3. Hlavní budova**

#### **3.1. Popis nosné konstrukce objektu**

Stávající objekt je zděná dvoupodlažní stavba (suterén a přízemí) s plochou střechou.

Nosná konstrukce je tvořena cihelnými stěnami (z cihel CDm) založenými na betonových základových pasech a stropy ze železobetonových stropních panelů. Nosná konstrukce je doplněna železobetonovými věnci a monolitickými železobetonovými a ocelovými překlady.

### **3.2. Únosnost jednotlivých prvků stávající nosné konstrukce**

V příloze 1 (Statický výpočet) byla posouzena únosnost jednotlivých vybraných částí nosné konstrukce objektu. Byly vybrány nejvíce namáhané prvky s přihlédnutím k předpokládané nástavbě. Bylo uvažováno, že dispozice patra nástavby a konstrukční systém nástavby by byly obdobné jako ve stávajících patrech objektu.

#### **3.2.1. Únosnost stávajících stropních panelů střechy**

Únosnost železobetonových stropních panelů nosné konstrukce stávajícího zastřešení ( $8,46 \text{ kN/m}^2$ ) je dostatečná pro běžné užívání prostorů nástavby pro potřeby mateřské školy. Vhodnost panelů bude s konečnou platností určena v projektové dokumentaci (v dokumentaci pro stavební povolení), která bude zhotovena před realizací stavby.

#### **3.2.2. Únosnost železobetonových monolitických překladů nad okny 2.NP**

Únosnost překladů je pro přitížení uvažovanou nástavbou nedostatečná - je dimenzována pouze na zatížení střešní konstrukcí. V projektové dokumentaci návrhu nástavby je nutno navrhnout potřebná opatření - překlad zesílit nebo řešit dispozici nástavby tak, aby překlady nebyly přitíženy.

#### **3.2.3. Únosnost zděných sloupků svislé nosné konstrukce 2.NP**

Únosnost sloupků pro přitížení uvažovanou nástavbou je dostatečná. Vhodnost sloupků bude s konečnou platností určena v projektové dokumentaci (v dokumentaci pro stavební povolení), která bude zhotovena před realizací stavby.

### **3.2.4. Únosnost překladu podle statického posouzení Ing. Podolky [2] z roku 2008 (2.NP)**

Podle statického posouzení [2] je rezerva v únosnosti překladu přibližně 50% (bez uvažování zatížení nástavbou). Tuto rezervu je možno využít pro přitížení překladu konstrukcí nástavby.

### **3.2.5. Únosnost ocelových překladů 1.NP**

Podle Statického posouzení [4] je rezerva v únosnosti překladů (bez uvažování zatížení nástavbou) přibližně 24% a 52%. Tuto rezervu je možno využít pro přitížení překladů konstrukcí nástavby.

### **3.2.6. Únosnost sloupků svislé nosné konstrukce 1.NP**

Únosnost sloupků pro přitížení uvažovanou nástavbou je dostatečná pouze v případě, že jsou sloupy provedeny z monolitického železobetonu. Tuto skutečnost je třeba ověřit a únosnost následně potvrdit ve statickém výpočtu.

Únosnost sloupků bude s konečnou platností určena v projektové dokumentaci (v dokumentaci pro stavební povolení), která bude zhotovena před realizací stavby.

### **3.2.7. Základy**

V příloze 1 (Statický výpočet) bylo předběžně určeno zatížení základové spáry (pro stávající objekt s nástavbou) 133 kPa pro obvodové základové pasy a 169 kPa pro střední základový pas. Tyto hodnoty je třeba porovnat s hodnotou uvedenou v inženýrsko-geologickém průzkumu [5]. Zde je uvedena tabulková únosnost základové půdy 150 kPa.

Únosnost základové spáry pod střední zdí je tedy mírně překročena (cca o 12,6%). Toto překročení únosnosti je možno řešit volbou lehčí nástavby a vhodným konstrukčním uspořádáním nosné konstrukce nástavby. Je také pravděpodobné, že podrobným posouzením únosnosti základové spáry bude nalezena potřebná rezerva a únosnost stávajících základů bude dostatečná.

Únosnost základů bude s konečnou platností určena v projektové dokumentaci (v dokumentaci pro stavební povolení), která bude zhotovena před realizací stavby.

## **4. Objekt přístavby (dostavba mateřské školy)**

### **4.1. Popis nosné konstrukce objektu**

Pavilon přístavby mateřské školy je řešen jako samostatně stojící jednopodlažní objekt zastřešený plochou střechou. Nosnou konstrukci objektu tvoří ocelový montovaný skelet z ocelových sloupů z uzavřeného ocelového profilu uložených na základových patkách z prostého betonu a na železobetonovém základovém pasu. Nosnou konstrukci zastřešení tvoří ocelové příhradové vazníky.

### **4.2. Možnost realizace nástavby**

Ocelová nosná konstrukce halového jednopodlažního objektu neumožňuje návrh a realizaci nástavby. Střecha a celá nosná konstrukce objektu je dimenzována pouze na zatížení sněhem a větrem.

## **5. Závěr**

**Realizace nástavby na hlavní budově mateřské školy je možná.** Je však třeba uvažovat o případné nutnosti řešit nástavbu tak, aby nedošlo k přetížením některých stávajících prvků nosné konstrukce a základů - viz výše. Také doporučuji volit při návrhu nástavby lehké stavební konstrukce a je také třeba upřesnit inženýrsko-geologický průzkum. Variantně je možno některé nosné prvky vhodným jednoduchým způsobem zesílit.

Nástavba na objektu přístavby mateřské školy je z důvodu malé únosnosti nosné konstrukce vyloučena.

## **6. Upozornění**

Statické posouzení prověřuje pouze možnost realizace nástavby na objektu stávající mateřské školy (včetně přístavby).

Konečné zhodnocení únosnosti objektu s nástavbou bude provedeno v dokumentaci pro stavební povolení. Součástí této dokumentace bude stavebně konstrukční část, která bude zpracována specialistou – statikem.

*Prověření možnosti realizace nástavby na objektu stávající mateřské školy (včetně přístavby)  
Ke školce 57, Chýně  
Statické posouzení*

Zpracovatel posouzení doporučuje provedení stavebně technického průzkumu stávajícího objektu, který zhodnotí stav veškerých stavebních konstrukcí a vyloučí výskyt konstrukcí s vadami. Na základě vyhodnocení technického průzkumu bude možno detailně posoudit původní stavební konstrukce a zpracovat dokumentaci pro stavební povolení a pro provádění stavby.

Také doporučuje upřesnit stávající inženýrsko-geologický průzkum [5].

## 7. Statický výpočet

Viz Příloha 1

20. 12. 2014



Zpracoval: Ing. Zdeněk Tuček

Ing. Zdeněk Tuček  
Plavecká 12, 128 00 Praha 2  
tel.: 606845911



Design Forms

version 3.4.12.0

Nemetschek Scia 2012

**Návrh a posudek výztuže obdélníkového průřezu**

Návrh a posouzení podélné výztuže na prostý ohyb dle ČSN EN 1992-1-1  
MŠ Chýně - překlad P1

Charakteristiky materiálu

$$f_{yd} = \frac{f_{yk}}{\gamma_s} = \frac{206 \cdot 10^6}{1.15} = 179 \text{ MPa}$$

$$\epsilon_{yd} = \frac{f_{yd}}{E_s} = \frac{179 \cdot 10^6}{200 \cdot 10^9} = 0.896 \%$$

$$f_{cd} = \alpha_{co} \frac{f_{ck}}{\gamma_c} = 1.00 \cdot \frac{16 \cdot 10^6}{1.50} = 10.7 \text{ MPa}$$

$$\text{Součinitele betonu } f_{ck} < 50 \text{ MPa} \Rightarrow \eta = 1.0 \quad \lambda = 0.8$$

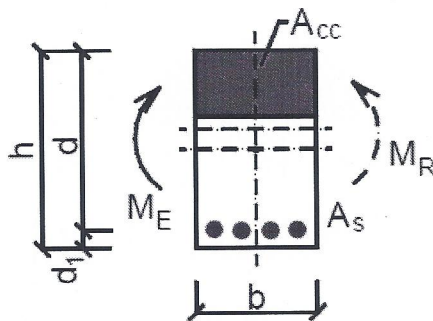
Geometrie průřezu

$$\text{Výška průřezu } h = 250 \text{ mm}$$

$$\text{Šířka průřezu } b = 350 \text{ mm}$$

$$\text{Efektivní výška průřezu } d = h - c - \frac{\phi}{2} = 0.25 - 0.03 - \frac{0.016}{2} = 212 \text{ mm}$$

$$\text{Zadaná tažená výztuž } 4x \phi 16 \text{ mm} \Rightarrow A_s = n \pi \left( \frac{\phi}{2} \right)^2 = 4 \cdot 3.14 \cdot \left( \frac{0.016}{2} \right)^2 = 8.04 \cdot 10^{-4} \text{ m}^2$$

Zatížení:

$$\text{Působící ohybový moment } M_{Ed} = 42.0 \text{ kNm}$$

Návrh výztuže

$$\begin{aligned} \text{Nutná plocha tažené výztuže} \quad A_{s,req} &= \frac{b d \eta f_{cd}}{f_{yd}} \left( 1 - \sqrt{1 - 2 \cdot \frac{M_{Ed}}{b d^2 \eta f_{cd}}} \right) \\ &= \frac{0.35 \cdot 0.212 \cdot 1.0 \cdot 10.7 \cdot 10^6}{179 \cdot 10^6} \cdot \left( 1 - \sqrt{1 - 2 \cdot \frac{42000}{0.35 \cdot 0.212^2 \cdot 1.0 \cdot 10.7 \cdot 10^6}} \right) = 13.0 \cdot 10^{-4} \text{ m}^2 \\ \Rightarrow \text{Zadaná výztuž } 4x \phi 16 \Rightarrow A_s &= 8.04 \cdot 10^{-4} \text{ m}^2 \\ \text{Navžená výztuž není dostatečná, upravte zadání!} \end{aligned}$$

Ing. Zdeněk Tuček  
 Plavecká 12, 128 00 Praha 2  
 tel.: 606845911



Design Forms

version 3.4.12.0

Nemetschek Scia 2012

Kontrola míry využití

Minimum

$$A_{s,min} = \max \left\{ \frac{0.0013 \cdot 0.35 \cdot 0.212}{0.26 \cdot 1.90 \cdot 10^6 \cdot 0.35 \cdot 0.212}, \frac{206 \cdot 10^6}{206 \cdot 10^6} \right\} = 1.78 \cdot 10^{-4} \text{ m}^2$$

Maximum

$$A_{s,max} = 0.04 \cdot b \cdot h = 0.04 \cdot 0.35 \cdot 0.25 = 35.0 \cdot 10^{-4} \text{ m}^2$$

Posouzení

$$A_{s,min} = 178 \cdot 10^{-6} \text{ m}^2 < A_s = 804 \cdot 10^{-6} \text{ m}^2 < A_{s,max} = 0.0035 \text{ m}^2 \Rightarrow Vyhovuje$$

Únosnost průřezu

Výška tlačené oblasti

$$x = \frac{A_s f_{yd}}{b \lambda \eta f_{cd}} = \frac{804 \cdot 10^{-6} \cdot 179 \cdot 10^5}{0.35 \cdot 0.8 \cdot 1.0 \cdot 10.7 \cdot 10^6} = 48.2 \text{ mm}$$

Limitní poměr tlačené oblasti

$$\xi_{bal,t} = \frac{\varepsilon_{cu3}}{\varepsilon_{cu3} + \varepsilon_{yd}} = \frac{0.0035}{0.0035 + 896 \cdot 10^{-6}} = 0.796$$

$$\frac{x}{d} = \frac{0.0482}{0.212} = 0.2275 < 0.796 \Rightarrow Výška tlačené oblasti vyhovuje$$

Rameno vnitřních sil

$$z = d - \frac{\lambda x}{2} = 0.212 - \frac{0.8 \cdot 0.0482}{2} = 193 \text{ mm}$$

Únosnost průřezu

$$M_{Rd} = A_s f_{yd} z = 804 \cdot 10^{-6} \cdot 179 \cdot 10^5 \cdot 0.193 = 27.8 \text{ kNm}$$

Posouzení

$$M_{Rd} = 27.76 \text{ kNm} < M_{Ed} = 42.00 \text{ kNm} \Rightarrow Navržený průřez NEVYHOVUJE !$$

Ing. Zdeněk Tuček  
Plavecká 12, 128 00 Praha 2  
tel.: 606845911



Design Forms

version 3.4.12.0

Nemetschek Scia 2012

## MŠ Chýně – sloupek SI1

### Zjednodušené posouzení zdiva v tlaku

#### Kontrola geometrie stěny:

$$\alpha_N = \frac{N_{Ed}}{t b f_d} = \frac{140000}{0.375 \cdot 0.37 \cdot 2.23 \cdot 10^5} = 0.452 -$$

$$t_{min} = \frac{c_1 q_{ewd} b h^2}{N_{Ed}} + c_2 h = \frac{0.23 \cdot 0.00 \cdot 0.37 \cdot 3.00^2}{140000} + 0.031 \cdot 3.00 = 93.0 \text{ mm}$$

$t = 375 \text{ mm} > t_{min} = 93.0 \text{ mm} \Rightarrow$  Tloušťka stěny vyhovuje

$$l_{t,max} = \min(4.5 + 10 t; 6) = \min(4.5 + 10 \cdot 0.375; 6) = 6.00 \text{ m}$$

$l_{t,ef} = 0.00 \text{ m} \leq l_{t,max} = 6.00 \text{ mm} \Rightarrow$  Rozpětí stropu vyhovuje

$$\lambda = \frac{h_{ef}}{t} = \frac{3.00}{0.375} = 8.00 -$$

$\lambda = 8.00 < \lambda_{max} = 27 \Rightarrow$  Štíhlost stěny vyhovuje

#### Únosnost stěny v prostém tlaku

$$f_k = K f_d \alpha_f f_m \beta = 0.55 \cdot 10.0^{0.7} \cdot 5.00^{0.3} = 4.47 \text{ MPa} \quad f_d = \frac{f_k}{\gamma_M} = \frac{4.47 \cdot 10^5}{2.00} = 2.23 \text{ MPa}$$

$$\Phi_s = \min \left\{ \begin{array}{l} 0.85 - 0.0011 \left( \frac{h_{ef}}{t} \right)^2 \\ 1.3 - \frac{l_{t,ef}}{8} \\ 0.5 \end{array} \right\} = \min \left\{ \begin{array}{l} 0.85 - 0.0011 \left( \frac{3.00}{0.375} \right)^2 \\ 1.3 - \frac{0.00}{8} \\ 0.5 \end{array} \right\} = 0.50 -$$

$$N_{Ed} = \Phi_s t b f_d = 0.50 \cdot 0.375 \cdot 0.37 \cdot 2.23 \cdot 10^5 = 155 \text{ kN}$$

#### Posouzení:

$$N_{Ed} = 155 \text{ kN} > N_{Ed} = 140 \text{ kN} \Rightarrow \text{Stěna vyhovuje}$$

Ing. Zdeněk Tuček  
 Plavecká 12, 128 00 Praha 2  
 tel.: 606845911



Design Forms

version 3.4.12.0

Nemetschek Scia 2012

### Návrh - podél. výztuž, oboustranná, NMy, CSS obdélník (var 3)

Návrh podélné výztuže obdélníkového průřezu podle ČSN EN 1992-1-1

MŠ Chýně - sloup SI10

Beton:

Návrhová hodnota pevnosti betonu

$$f_{ck} = \alpha_{cc} \frac{f_{ck}}{\gamma_c} = 1.00 \cdot \frac{16 \cdot 10^6}{1.50} = 10.7 \text{ MPa}$$

Součinitele betonu  $\alpha_{cc}=1.00$

Pevnost betonu  $f_{ck}<50 \text{ MPa} \Rightarrow \eta=1 \quad \lambda=0.8$

$$\text{Poměrné přetvoření betonu } \varepsilon_{cb} = \frac{f_{ck}}{E} = \frac{10.7 \cdot 10^6}{29.0 \cdot 10^9} = 0.368 \%$$

Výztuž

Návrhová hodnota pevnosti oceli  $f_{ys} = \frac{f_{yk}}{\gamma_s} = \frac{500 \cdot 10^6}{1.15} = 435 \text{ MPa}$

$$\text{Poměrné přetvoření } \varepsilon_{yd} = \frac{f_{yd}}{E_s} = \frac{435 \cdot 10^6}{210 \cdot 10^9} = 2.070 \%$$

Rameno vnitřních sil  
 Pro taženou výztuž

$$z_1 = \frac{h}{2} - d_1 = \frac{0.30}{2} - 0.043 = 0.107 \text{ m}$$

Pro tláčenou výztuž

$$z_2 = \frac{h}{2} - d_2 = \frac{0.30}{2} - 0.043 = 0.107 \text{ m}$$

Maximální poměrné přetvoření výztuže

$\varepsilon_y = 1000000\% \Rightarrow$  ve výpočtu uvažujeme neomezenou hodnotu tlakového přetvoření výztuže

Rozměry průřezu

Šířka průřezu

$$b = 0.30 \text{ m}$$

Výška průřezu

$$h = 0.30 \text{ m}$$

Těžiště tažené výztuže

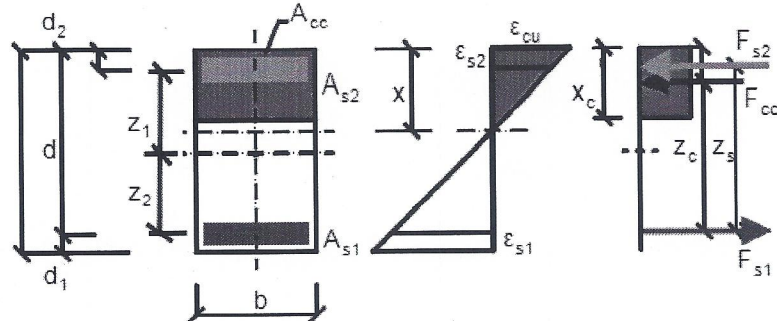
$$d_1 = c + \frac{\Phi_1}{2} = 0.035 + \frac{0.016}{2} = 43.0 \text{ mm}$$

Těžiště tláčené výztuže

$$d_2 = c + \frac{\Phi_2}{2} = 0.035 + \frac{0.016}{2} = 43.0 \text{ mm}$$

Effektivní výška průřezu

$$d = h - d_1 = 0.30 - 0.043 = 0.257 \text{ m}$$



Ing. Zdeněk Tuček  
Plavecká 12, 128 00 Praha 2  
tel.: 606845911



Design Forms

version 3.4.12.0

Nemetschek Scia 2012

**Zatížení:**Ohybový moment - směr Y  $M_{Edy} = 0.00 \text{ kNm}$ Poznámka: Moment je vždy uvažován kladný, tah na spodní straně  
Normálová síla  $N_{Ed} = 270 \text{ kN}$ 

Poznámka: Kladná hodnota je tah, záporná tlak

$$M_{Edy1} = M_{Edy} - N_{Ed} z_1 = 0.00 - 270000 \cdot 0.107 = -28.9 \text{ kNm}$$

$$M_{Edy2} = M_{Edy} + N_{Ed} z_2 = 0.00 + 270000 \cdot 0.107 = 28.9 \text{ kNm}$$

**Normálová síla je kladná => Případ s převažujícím tahem****Vzdálenost neutrální osy**

$$x = \frac{d}{\lambda} \left( 1 - \sqrt{1 - \left( \frac{2 M_{Edy1}}{b d^2 \eta f_{cd}} \right)} \right)$$

$$= \frac{0.257}{0.8} \cdot \left( 1 - \sqrt{1 - \left( \frac{2 \cdot -28890}{0.30 \cdot 0.257^2 \cdot 1.0 \cdot 10.7 \cdot 10^6} \right)} \right) = -0.0413 \text{ m}$$

$$x_c = 0.8 x = 0.8 \cdot -0.0413 = -0.033 \text{ m}$$

**Plocha betonu**

$$A_{co} = x_c b = -0.033 \cdot 0.30 = -0.0099 \text{ m}^2$$

**Limitní vzdálenosti a porovnání**

$$\xi_{bal1} = \frac{\text{abs}(\varepsilon_{cu3})}{\text{abs}(\varepsilon_{cu3}) + \varepsilon_{yd}} = \frac{\text{abs}(0.0035)}{\text{abs}(0.0035) + 2.070 \cdot 10^{-3}} = 0.628$$

$$\xi_{bal2} = \frac{\text{abs}(\varepsilon_{cu3})}{\text{abs}(\varepsilon_{cu3}) - \varepsilon_{yd}} = \frac{\text{abs}(0.0035)}{\text{abs}(0.0035) - 2.070 \cdot 10^{-3}} = 2.45$$

$$x_{bal1} = \frac{\text{abs}(\varepsilon_{cu3})}{\text{abs}(\varepsilon_{cu3}) + \varepsilon_{yd}} d = \frac{\text{abs}(0.0035)}{\text{abs}(0.0035) + 2.070 \cdot 10^{-3}} \cdot 0.257 = 0.161 \text{ m}$$

$$x_{bal2} = \frac{\text{abs}(\varepsilon_{cu3})}{\text{abs}(\varepsilon_{cu3}) - \varepsilon_{yd}} d_2 = \frac{\text{abs}(0.0035)}{\text{abs}(0.0035) - 2.070 \cdot 10^{-3}} \cdot 0.043 = 0.105 \text{ m}$$

$$x \leq 0 \Rightarrow -0.0413 \leq 0$$

**Návrh výztuže:**

Oblast V, předpoklad: betonu nepůsobí, celý průřez je v tahu

**Tahová oblast:**

$$\text{Nutná plocha tažené výztuže} A_{sy1req} = \frac{M_{Edy2}}{f_{yd} z_1 + z_2} = \frac{28890}{435 \cdot 10^6 \cdot 0.107 + 0.107} = 311 \cdot 10^{-6} \text{ m}^2$$

**Tlaková oblast:**

$$\text{Nutná plocha tlačené výztuže} A_{sy2req} = \frac{M_{Edy1}}{f_{yd} z_1 + z_2} = \frac{-28890}{435 \cdot 10^6 \cdot 0.107 + 0.107} = 311 \cdot 10^{-6} \text{ m}^2$$

Symetrická výztuž: Symetrická výztuž je navržena podle větší z hodnot Asy1req a Asy2req

The symmetric reinforcement is designed according to the bigger value of  $A_{sy1req}$  and  $A_{sy2req}$ 

$$A_{syreq} = \max(A_{sy1req}, A_{sy2req}) = \max(311 \cdot 10^{-6}, 311 \cdot 10^{-6}) = 311 \cdot 10^{-6} \text{ m}^2$$

$$A_{sy1req} = A_{syreq} = 311 \cdot 10^{-6} \text{ m}^2$$

$$A_{sy2req} = A_{syreq} = 311 \cdot 10^{-6} \text{ m}^2$$

Ing. Zdeněk Tuček  
 Plavecká 12, 128 00 Praha 2  
 tel.: 606845911



Design Forms

version 3.4.12.0

Nemetschek Scia 2012

Použitá výztuž - směr Y  
 Průměr spodní a horní výztuže

$$\begin{aligned}\Phi_1 &= 16.0 \text{ mm} \\ \Phi_2 &= 16.0 \text{ mm}\end{aligned}$$

Tahová výztuž  $\geq A_{sy1req}$   
 $A_{sy1} \geq A_{sy1req} \Rightarrow A_{sy1} \geq 311 \cdot 10^{-5} \text{ m}^2$

$$\text{Navrženo } 2 \times 16 \text{ mm} \quad A_{sy1} = n_1 \cdot \frac{\pi \Phi_1^2}{4} = 2 \cdot \frac{3.14 \cdot 0.016^2}{4} = 402 \cdot 10^{-5} \text{ m}^2$$

Tlaková výztuž  $\geq A_{sy2req}$   
 $A_{sy2} \geq A_{sy2req} \Rightarrow A_{sy2} \geq 311 \cdot 10^{-5} \text{ m}^2$

$$\text{Navrženo } 2 \times 16 \text{ mm} \quad A_{sy2} = n_2 \cdot \frac{\pi \Phi_2^2}{4} = 2 \cdot \frac{3.14 \cdot 0.016^2}{4} = 402 \cdot 10^{-5} \text{ m}^2$$

stran: 23

Ahce: Proveření možnosti realizace  
naš stavby na objektu stavající  
materiál sholy (včetně přistavby)  
ke řece 57, Chyňe

Statický - výpočet

1. Obsah

1. Obsah ..... str. 7
2. Podklady a literatura ..... str. 7
3. Technický popis ..... str. 7
4. Hlavní budova ..... str. 2
5. Objekt dostavby MŠ  
chyňe (přistavba) ..... str. 10
6. Prílohy ..... str. 11 ÷ 23

2. Podklady a literatura

viz Statické posouzení

3. Technický - popis

viz Statické posouzení

## 4. Hlavní budova

### 4.1. Nosná konstrukce střechy

Foliovobetonové stropní panely : [1] statické

PZD 65 p - 100 / 530  
prp. 1/7

PZD 65 p - 50 / 530

viz kladecíž' plán přízemí  
- původní PD - staticka

#### 4.1.1. Výnosnost panelů

- podle katalogu [6]  $q_{dar} = 8,46 \text{ kN/m}'$   
PZD 65 p - 100 / 530 (zat. síťka 1,0 m)

$q_{dar} = \text{dokl. zatícní vba} \Rightarrow 8,46 \text{ kN/m}'$   
Vlastní hmotnosti

- podle Vodorovné dílny konstrukce [8]  
PZD 65 - 150 / 530 dovol. zat. 1145 kp/m'  
 $\Rightarrow q_{dar} = 1145 / 1,5 = 763 \text{ kN/m}'$   
je-li ke panelu 150 cm?

- podle Tabulek [7]  $q_{dar} = 8,46 \text{ kN/m}'$   
PZD 65 - 100 / 530  $\Rightarrow 8,46 \text{ kN/m}'$

#### 4.1.2. Posouzení nosnosti paneleů

uvážené zatížení (normové, charakteristické):

- užitné zatížení  $2,0 \div 3,0 \text{ kN/m}^2$  (učebny škol, posluchárny)
  - podlahy (odhad)  $2,5 \text{ kN/m}^2$
  - průčely (lehké, PSDK, plynoucí)  $1,0 \text{ kN/m}^2$
- $$\Sigma = 5,5 \div 6,5 \text{ kN/m}^2$$

$$6,5 \text{ kN/m}^2 < 8,46 \text{ kN/m}^2$$

$\Rightarrow$  unosnost panelů vyhovuje  
na uvedené zatížení

#### 4.2. Průčely (2. NP)

[1] statické  
Průřez 1/4  
Průřez 1/2

##### 4.2.1. Posouzení nosnosti proskladi (P1)

##### 4.2.2. Zatížení - odhad (závrhové)

Zat. síka stropu  $5,0/2 = 2,5 \text{ m}$

- 4 -

• užitkové	3,0 · 1,3 · 2,5	<sup>2,5</sup> =	9,00 kN/m <sup>2</sup>
• podlaha	3,0 · 1,2 · 2,5	<sup>2,5</sup> =	6,00 kN/m <sup>2</sup>
• FB + laný	15,75 / 5,3 · 11,25	<sup>2,5</sup> =	8,30 kN/m <sup>2</sup>
• omítky	0,50 · 2,5	=	1,25 kN/m <sup>2</sup>
		$\Sigma_2 =$	25,40 kN/m <sup>2</sup>
• nová stěna	0,40 · 10,0 · 1,1 · 3,0	=	13,20 kN/m <sup>2</sup>
(odhad)			
• částečná návěs skříň			10,00 kN/m <sup>2</sup>
(odhad)			
		$\Sigma_1 =$	48,60 kN/m <sup>2</sup>
• Pastvin' tvarovat			2,40 kN/m <sup>2</sup>
		$\Sigma =$	41,00 kN/m <sup>2</sup>

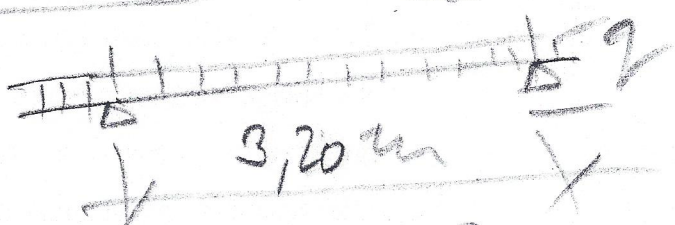
Zářivem do obou polk (odhad):

$$P = 41,0 \cdot 3,40 = 140,0 \text{ kN}$$

#### 4.2.3. Počasen' prosklady

##### 4.2.3.1. Max. moment

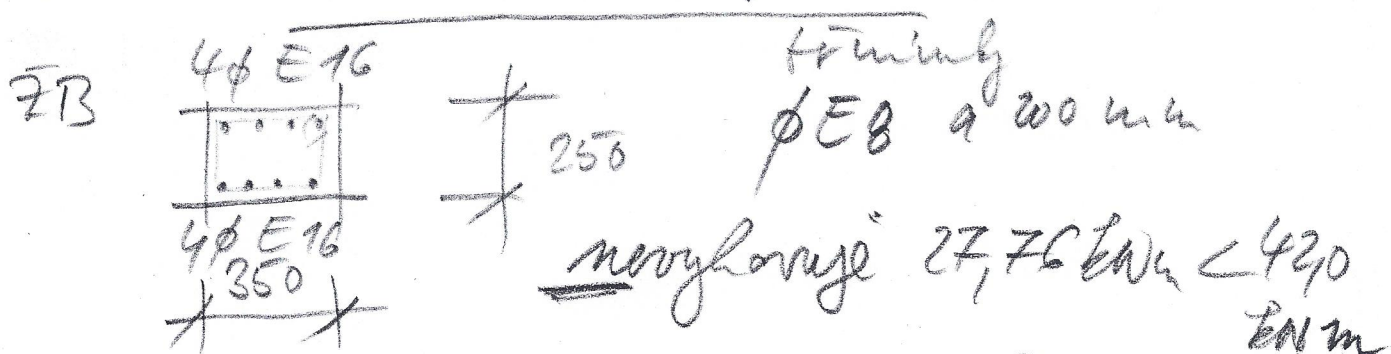
P1  
[1] Pr. 1/4  
Pr. 1/7  
Statika



$$M_{\max} = \frac{1}{10} \cdot 41,0 \cdot 3,20^2 = 42,0 \text{ kNm}$$

n srovný násobek

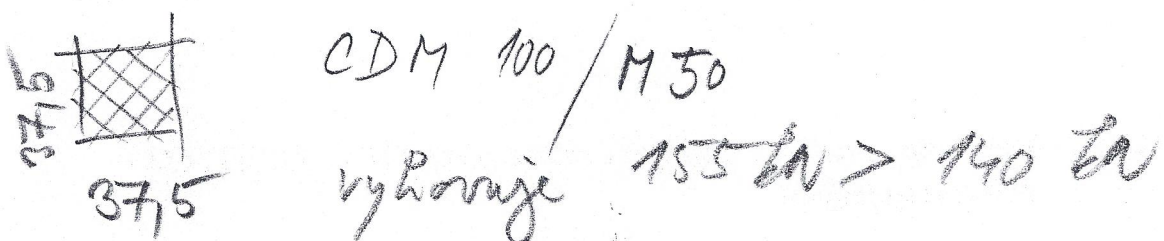
#### 4.2.3. 2. Posazení trojíku



posazení - viz příloha 1/1 Poia Design

#### 4.2.4. Posazení sloupu PL1 Příloha 1/4

zatížení:  $T = 140,0 \text{ kN}$  (odl. 4.2.2.)



posazení - viz příloha 1/2 Poia Design

#### 4.2.5. Prohlad podle statického posazení (r. 2008) - spracoval

ing. Karel Mikš [2]

rezerva ve výkonu cca 50%

podle statického posazení

4.3. Putoraň (1.NP)

4.3.1. Prohlad P10 [4] Příloha 1/5

Podle statického posouzení

- Ing. Fr. Sojka z r. 2013

reserva: využití profile 3x I 260  
75,7 %

24,3 % únosnosti možno využít  
pro zatečení naftovém

4.3.2. Prohlad P11 [4] Příloha 1/5

Podle stat.-posouzení Ing. Fr. Sojky

reserva: využití profile 2x I 200  
47,4 %

52,6 % únosnosti možno využít  
pro zatečení naftovém.

4.3.3. Sloupek Sl 10 [4] Příloha 1/5

4.3.3.1. zatečení

podle statického posouzení Ing. Fr. Sojky  
z r. 2013 - pro prohlad

- 7 -

Základní do sloupku (v záhlaví)  
délka (zátka) (zátka)

$$P = 29,08 \cdot 31 \cdot 3 = 270,4 \text{ kN}$$

4. 3. 3. 2. Přesunutí sloupu <sup>odhad</sup>

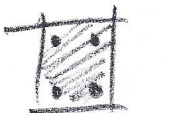
a)  CDm 100 / 150

37,5 Mužský 155 kN (viz odst. 4.2.4)

$$\Rightarrow 155 \text{ kN} < 270,4 \text{ kN}$$

$\Rightarrow$  nebezpečí

b) beton



300

viz přesunutí

Příloha 1/3

300

vyšší závaží v betonu. Výška 21'

4φ 16 - cca

4.4. Základy

Podle Technického řízení pro výrobu dokumentace<sup>[1]</sup> z r. 1975 je objekt založen na základních zásadoch

Tři závaha založené byly

uváděány s ohledem na normativní

namáhání  $q = 1,0 \text{ kN/cm}^2 = 100 \text{ kPa}$

- 8 -

V geologickém průznamu (inženýrsko  
- geologický průznam) <sup>[5]</sup> z r. 2011, zpracoval:  
RNDr. Vilém Šýkora je uvedené  
Pohledové  $R_{df} = 100 \div 150 \text{ kPa}$

Na úvaze se pladu je uvedeno:

Dorolné namáhání zdeblad: spodní

$$= 1,5 \text{ kN/cm}^2$$

4.4.1. obvodový zdeblad. has

4.4.1.1. montážní galízom'

obvodové steny - s náhradou

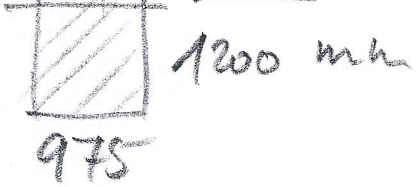
podle ods. 4.2.2.

návrhové

$$q = 25,4 \cdot 3 + 13,20 \cdot 3 = \\ = 76,2 + 39,6 = 115,8 \text{ kN/m}$$

zdebl. has

+



1200 mm

975

$$q_2 = 0,975 \cdot 1,20 \cdot 24,0 \cdot 1,2 = 33,7 \text{ kN/m}$$

$$q_c = q + q_2 = 115,8 + 33,7 = 149,5 \\ \text{kN/m}$$

#### 4.4.1.2. Základní základ. Spáry

Vlastnosti základového živly prováděny  
z inženýrsko-geol. průzkumu z r. 11  
(RNDr. Říhová) [5]

pasivní - F4C8 - řuhý

Základní základ. Spáry charakteristiky:

$$q_{dk} = \frac{149,5}{\text{odst. 4,4 m}} / \frac{0,2}{1,15} = 130,0 \text{ kN/m}$$

$$q_{dk \text{ základ. sp.}} = \frac{130,0}{1,0 \cdot 0,975} = 133,0 \text{ kN/m}^2$$
$$= 133,0 \text{ kPa}$$

$$133,0 \text{ kPa} < 150,0 \text{ kPa}$$

Rdt podle geolog. průzkumu  
[5]

→ vzhledem

nutno upřesnit podle PD místní  
nášťavby?

#### 4.4.2. Střední základ - pas

##### 4.4.2.1 Orientační základní

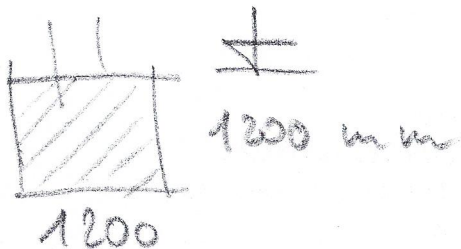
střední steny - s nášťavbou

- na vrchol

zat. s. 2x

$$q = 25,4 \cdot 3,2 + 1320 \cdot 3 = \\ = 152,4 + 3916 = 192,0 \text{ kN/m}$$

7d Blad - tas



$$q_2 = 1,20 \cdot 1,20 \cdot 24,0 \cdot 1,2 = 41,4 \text{ kN/m}$$

$$q_{c} = q + q_2 = 192,0 + 41,4 = 233,4 \text{ kN/m}$$

4.4. 2. 2. Rozsáhlý základní spínaj.

Základní základní spínaj charakteristiky:

$$q_{ch} = 233,4 / 1,15 = 202,9 \text{ kN/m}^2$$

$$q_{char. základní spínaj} = 202,9 / 1,0 \cdot 1,20 = 169,0 \text{ kN/m}^2$$

$$169,0 > 150,0 \text{ kPa} \quad (= 169,0 \text{ kPa} \quad (12,6 \% \text{ přes})$$

⇒ nevhodné

v PD může být načátrba nutna

v hodují konstrukci uvedeného odlehlosti

5. Objekt dostavby materiálů stoly  
Chýně (prídava)

5.1. Popis objektu

objekt je prozatím objekt. Nosná konstrukce je složena z valených profilů s krytou vnitřním schránkem + valených sloupců na FB základ. páscech a z valených příhrad. vazebkou.

Nosná konstrukce halovky, pankonference systému nejméněji žádoucího odstavce. Prodeje ji dimenzováme pro základní směr.

6. PríPohy str. 12 ÷ 23

- |                                       |              |
|---------------------------------------|--------------|
| PríPohy 1/1                           | str. 12 ÷ 13 |
| PríPohy 1/2                           | str. 14      |
| PríPohy 1/3                           | str. 15 ÷ 17 |
| PríPohy 1/4 (Pídlovs prizemí)<br>2.NP | str. 18 ÷ 19 |
| PríPohy 1/5 (Pídlovs národný)<br>1.NP | str. 20      |
| PríPohy 1/6 (základy)                 | str. 21      |
| PríPohy 1/7 (Klad. plán stropu)       | str. 22      |
| PríPohy 1/8 (objekt dostavby)         | str. 23      |

20.12.2014

TUČEK - stavební projekty,  
stavební práce  
Ing. Zdeněk Tuček  
Plavecká 12, 128 00 Praha 2

Zpracoval: Ing. Zdeněk Tuček

Ing. Zdeněk Tuček  
Plavecká 12, 128 00 Praha 2  
tel.: 606845911



Design Forms

version 3.4.12.0

Nemetschek Scia 2012

## Návrh a posudek výztuže obdélníkového průřezu

Návrh a posouzení podélné výztuže na prostý ohyb dle ČSN EN 1992-1-1  
MS Chýně - překlad P1

### Charakteristiky materiálu

$$f_{yd} = \frac{f_{yk}}{\gamma_s} = \frac{206 \cdot 10^6}{1.15} = 179 \text{ MPa}$$

$$\epsilon_{yd} = \frac{f_{yd}}{E_s} = \frac{179 \cdot 10^6}{200 \cdot 10^9} = 0.896 \%$$

$$f_{cd} = \alpha_{cs} \frac{f_{ck}}{\gamma_c} = 1.00 \cdot \frac{16 \cdot 10^6}{1.50} = 10.7 \text{ MPa}$$

$$\text{Součinitele betonu} \quad f_{ck} < 50 \text{ MPa} \Rightarrow \eta = 1.0 \quad \lambda = 0.8$$

### Geometrie průřezu

Výška průřezu

$$h = 250 \text{ mm}$$

Šířka průřezu

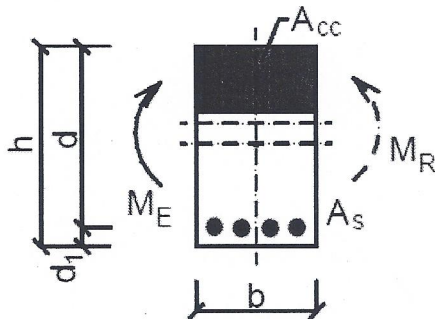
$$b = 350 \text{ mm}$$

Efektivní výška průřezu

$$d = h - c - \frac{\phi}{2} = 0.25 - 0.03 - \frac{0.016}{2} = 212 \text{ mm}$$

Zadaná tažená výztuž

$$4x \phi 16 \text{ mm} \Rightarrow A_s = n \pi \left( \frac{\phi}{2} \right)^2 = 4 \cdot 3.14 \cdot \left( \frac{0.016}{2} \right)^2 = 8.04 \cdot 10^{-4} \text{ m}^2$$



### Zatížení:

Působící ohybový moment  $M_{Ed} = 42.0 \text{ kNm}$ 

### Návrh výztuže

$$A_{s, \text{req}} = \frac{b d \eta f_{cd}}{f_{yd}} \left( 1 - \sqrt{1 - 2 \frac{M_{Ed}}{b d^2 \eta f_{cd}}} \right)$$

$$= \frac{0.35 \cdot 0.212 \cdot 1.0 \cdot 10.7 \cdot 10^6}{179 \cdot 10^6} \cdot \left( 1 - \sqrt{1 - 2 \cdot \frac{42000}{0.35 \cdot 0.212^2 \cdot 1.0 \cdot 10.7 \cdot 10^6}} \right) = 13.0 \cdot 10^{-4} \text{ m}^2$$

=> Zadaná výztuž  $4x \phi 16 \Rightarrow A_s = 8.04 \cdot 10^{-4} \text{ m}^2$

Navžená výztuž není dostatečná, upravte zadání

Ing. Zdeněk Tuček  
Plavecká 12, 128 00 Praha 2  
tel.: 606845911



Design Forms

version 3.4.12.0

Nemetschek Scia 2012

Kontrola míry využití

Minimum

$$A_{s,\min} = \max \left\{ \frac{0.0013 \cdot 0.35 \cdot 0.212}{206 \cdot 10^6}, \frac{0.26 \cdot 1.90 \cdot 10^{-5} \cdot 0.35 \cdot 0.212}{206 \cdot 10^6} \right\} = 1.78 \cdot 10^{-4} \text{ m}^2$$

Maximum

$$A_{s,\max} = 0.04 b h = 0.04 \cdot 0.35 \cdot 0.25 = 35.0 \cdot 10^{-4} \text{ m}^2$$

Posouzení

$$A_{s,\min} = 178 \cdot 10^{-6} \text{ m}^2 < A_s = 804 \cdot 10^{-6} \text{ m}^2 < A_{s,\max} = 0.0035 \text{ m}^2 \Rightarrow \text{Vyhovuje}$$

Únosnost průřezu

Výška tlačené oblasti

$$x = \frac{A_s f_{yd}}{b \lambda n f_{cd}} = \frac{804 \cdot 10^{-6} \cdot 179 \cdot 10^5}{0.35 \cdot 0.8 \cdot 1.0 \cdot 10.7 \cdot 10^3} = 48.2 \text{ mm}$$

Limitní poměr tlačené oblasti

$$\xi_{bal,t} = \frac{\varepsilon_{eu3}}{\varepsilon_{eu3} + \varepsilon_{yd}} = \frac{0.0035}{0.0035 + 896 \cdot 10^{-6}} = 0.796$$

$$\frac{x}{d} = \frac{0.0482}{0.212} = 0.2275 < 0.796 \Rightarrow \text{Výška tlačené oblasti vyhovuje}$$

Rameno vnitřních sil

$$z = d - \frac{\lambda x}{2} = 0.212 - \frac{0.8 \cdot 0.0482}{2} = 193 \text{ mm}$$

Únosnost průřezu

$$M_{Rd} = A_s f_{yd} z = 804 \cdot 10^{-6} \cdot 179 \cdot 10^5 \cdot 0.193 = 27.8 \text{ kNm}$$

Posouzení

$$M_{Rd} = 27.76 \text{ kNm} < M_{Ed} = 42.00 \text{ kNm} \Rightarrow \text{Navržený průřez NEVYHOVUJE!}$$

Ing. Zdeněk Tuček  
Plavecká 12, 128 00 Praha 2  
tel.: 606845911



Design Forms

version 3.4.12.0

Nemetschek Scia 2012

## MŠ Chýně – sloupek SI1

### Zjednodušené posouzení zdiva v tlaku

Kontrola geometrie stěny:

$$\alpha_N = \frac{N_{Ed}}{t b f_d} = \frac{140000}{0.375 \cdot 0.37 \cdot 2.23 \cdot 10^3} = 0.452 -$$

$$t_{min} = \frac{c_1 q_{Ed} b h^2}{N_{Ed}} + c_2 h = \frac{0.23 \cdot 0.00 \cdot 0.37 \cdot 3.00^2}{140000} + 0.031 \cdot 3.00 = 93.0 \text{ mm}$$

$t = 375 \text{ mm} > t_{min} = 93.0 \text{ mm} \Rightarrow$  Tloušťka stěny vyhovuje

$$l_{t,max} = \min(4.5 + 10 t; 6) = \min(4.5 + 10 \cdot 0.375; 6) = 6.00 \text{ m}$$

$$l_{t,er} = 0.00 \text{ m} \leq l_{t,max} = 6.00 \text{ mm} \Rightarrow$$
 Rozpětí stropu vyhovuje

$$\lambda = \frac{h_{er}}{t} = \frac{3.00}{0.375} = 8.00 -$$

$\lambda = 8.00 < \lambda_{max} = 27 \Rightarrow$  Štíhlost stěny vyhovuje

#### Únosnost stěny v prostém tlaku

$$f_k = K f_d \alpha_f \beta = 0.55 \cdot 10.0^{0.7} \cdot 5.00^{0.3} = 4.47 \text{ MPa} \quad f_d = \frac{f_k}{\gamma_m} = \frac{4.47 \cdot 10^3}{2.00} = 2.23 \text{ MPa}$$

$$\Phi_s = \min \left\{ \begin{array}{l} 0.85 - 0.0011 \left( \frac{h_{er}}{t} \right)^2 \\ 1.3 - \frac{l_{t,er}}{8} \\ 0.5 \end{array} \right\} = \min \left\{ \begin{array}{l} 0.85 - 0.0011 \cdot \left( \frac{3.00}{0.375} \right)^2 \\ 1.3 - \frac{0.00}{8} \\ 0.5 \end{array} \right\} = 0.50 -$$

$$N_{Ed} = \Phi_s t b f_d = 0.50 \cdot 0.375 \cdot 0.37 \cdot 2.23 \cdot 10^3 = 155 \text{ kN}$$

#### Posouzení:

$$N_{Ed} = 155 \text{ kN} > N_{Ed} = 140 \text{ kN} \Rightarrow$$
 Stěna vyhovuje

Ing. Zdeněk Tuček  
Plavecká 12, 128 00 Praha 2  
tel.: 606845911



Design Forms

version 3.4.12.0

Nemetschek Scia 2012

### Návrh - podél. výztuž, oboustranná, NMy, CSS obdélník (var 3)

Návrh podélné výztuže obdélníkového průřezu podle ČSN EN 1992-1-1

MŠ Chýně - sloup SI10

#### Beton:

Návrhová hodnota pevnosti betonu

$$f_{ck} = \alpha_{cc} \frac{f_{ck}}{\gamma_c} = 1.00 \cdot \frac{16 \cdot 10^5}{1.50} = 10.7 \text{ MPa}$$

Součinitele betonu

$$\alpha_{cc} = 1.00$$

Pevnost betonu  $f_{ck} < 50 \text{ MPa} \Rightarrow$

$$\eta = 1 \quad \lambda = 0.8$$

Poměrné přetvoření betonu

$$\varepsilon_{ct} = \frac{f_{ck}}{E} = \frac{10.7 \cdot 10^5}{29.0 \cdot 10^9} = 0.368 \%$$

#### Výztuž

Návrhová hodnota pevnosti oceli  $f_{ys} = \frac{f_{yk}}{\gamma_s} = \frac{500 \cdot 10^5}{1.15} = 435 \text{ MPa}$

Poměrné přetvoření  $\varepsilon_{yd} = \frac{f_{yd}}{E_s} = \frac{435 \cdot 10^6}{210 \cdot 10^9} = 2.070 \%$

Rameno vnitřních sil

$$z_1 = \frac{h}{2} - d_1 = \frac{0.30}{2} - 0.043 = 0.107 \text{ m}$$

Pro taženou výztuž

$$z_2 = \frac{h}{2} - d_2 = \frac{0.30}{2} - 0.043 = 0.107 \text{ m}$$

Maximální poměrné přetvoření výztuže

$\varepsilon_y = 1000000\% \Rightarrow$  ve výpočtu uvažujeme neomezenou hodnotu tlakového přetvoření výztuže

#### Rozměry průřezu

Šířka průřezu

$$b = 0.30 \text{ m}$$

Výška průřezu

$$h = 0.30 \text{ m}$$

Těžiště tažené výztuže

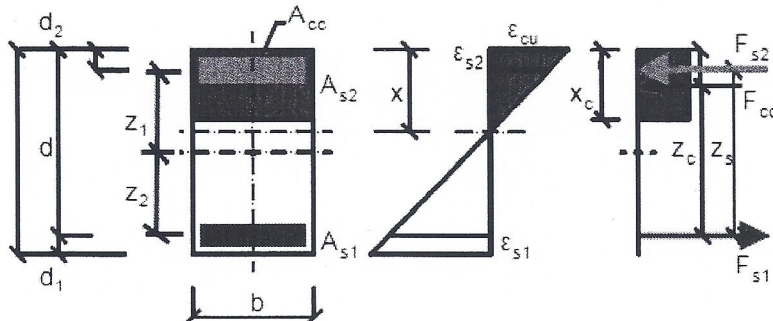
$$d_1 = c + \frac{\Phi_1}{2} = 0.035 + \frac{0.016}{2} = 43.0 \text{ mm}$$

Těžiště tažené výztuže

$$d_2 = c + \frac{\Phi_2}{2} = 0.035 + \frac{0.016}{2} = 43.0 \text{ mm}$$

Effektivní výška průřezu

$$d = h - d_1 = 0.30 - 0.043 = 0.257 \text{ m}$$



Ing. Zdeněk Tuček  
Plavecká 12, 128 00 Praha 2  
tel.: 606845911



Design Forms

version 3.4.12.0

Nemetschek Scia 2012

**Zatížení:**Ohybový moment - směr Y  $M_{E_{xy}} = 0.00 \text{ kNm}$ 

Poznámka: Moment je vždy uvažován kladný, tah na spodní straně

Normálová síla  $N_{Ed} = 270 \text{ kN}$ 

Poznámka: Kladná hodnota je tah, záporná tlak

$$M_{E_{xy1}} = M_{E_{xy}} - N_{Ed} z_1 = 0.00 - 270000 \cdot 0.107 = -28.9 \text{ kNm}$$

$$M_{E_{xy2}} = M_{E_{xy}} + N_{Ed} z_2 = 0.00 + 270000 \cdot 0.107 = 28.9 \text{ kNm}$$

**Normálová síla je kladná => Případ s převažujícím tahem****Vzdálenost neutrální osy**

$$x = \frac{d}{\lambda} \left( 1 - \sqrt{1 - \left( \frac{2 M_{E_{xy1}}}{b d^2 \eta f_{cd}} \right)^2} \right)$$

$$= \frac{0.257}{0.8} \left( 1 - \sqrt{1 - \left( \frac{2 \cdot 28890}{0.30 \cdot 0.257^2 \cdot 1.0 \cdot 10.7 \cdot 10^6} \right)^2} \right) = -0.0413 \text{ m}$$

$$x_c = 0.8 x = 0.8 \cdot -0.0413 = -0.033 \text{ m}$$

**Plocha betonu**

$$A_{co} = x_c b = -0.033 \cdot 0.30 = -0.0099 \text{ m}^2$$

$$\xi_{bal1} = \frac{\text{abs}(\epsilon_{cus})}{\text{abs}(\epsilon_{cus}) + \epsilon_{yd}} = \frac{\text{abs}(0.0035)}{\text{abs}(0.0035) + 2.070 \cdot 10^{-3}} = 0.628$$

$$\xi_{bal2} = \frac{\text{abs}(\epsilon_{cus})}{\text{abs}(\epsilon_{cus}) - \epsilon_{yd}} = \frac{\text{abs}(0.0035)}{\text{abs}(0.0035) - 2.070 \cdot 10^{-3}} = 2.45$$

$$x_{bal1} = \frac{\text{abs}(\epsilon_{cus})}{\text{abs}(\epsilon_{cus}) + \epsilon_{yd}} d = \frac{\text{abs}(0.0035)}{\text{abs}(0.0035) + 2.070 \cdot 10^{-3}} \cdot 0.257 = 0.161 \text{ m}$$

$$x_{bal2} = \frac{\text{abs}(\epsilon_{cus})}{\text{abs}(\epsilon_{cus}) - \epsilon_{yd}} d_2 = \frac{\text{abs}(0.0035)}{\text{abs}(0.0035) - 2.070 \cdot 10^{-3}} \cdot 0.043 = 0.105 \text{ m}$$

$$x \leq 0 \Rightarrow -0.0413 \leq 0$$

**Návrh výztuže:**

Oblast V, předpoklad: betonu nepůsobí, celý průřez je v tahu

**Tahová oblast:**

$$\text{Nutná plocha tažené výztuže} A_{sy1req} = \frac{M_{E_{xy2}}}{f_{yd} z_1 + z_2} = \frac{28890}{435 \cdot 10^6 \cdot 0.107 + 0.107} = 311 \cdot 10^{-6} \text{ m}^2$$

**Tlaková oblast:**

$$\text{Nutná plocha tlačené výztuže} A_{sy2req} = \frac{M_{E_{xy1}}}{f_{yd} z_1 + z_2} = \frac{-28890}{435 \cdot 10^6 \cdot 0.107 + 0.107} = 311 \cdot 10^{-6} \text{ m}^2$$

Symetrická výztuž: Symetrická výztuž je navržena podle větší z hodnot  $A_{sy1req}$  a  $A_{sy2req}$   
The symmetric reinforcement is designed according to the bigger value of  $A_{sy1req}$  and  $A_{sy2req}$ 

$$A_{syreq} = \max(A_{sy1req}, A_{sy2req}) = \max(311 \cdot 10^{-6}, 311 \cdot 10^{-6}) = 311 \cdot 10^{-6} \text{ m}^2$$

$$A_{syreq} = A_{syreq} = 311 \cdot 10^{-6} \text{ m}^2$$

$$A_{sy2req} = A_{syreq} = 311 \cdot 10^{-6} \text{ m}^2$$

Ing. Zdeněk Tuček  
 Plavecká 12, 128 00 Praha 2  
 tel.: 606845911



Design Forms

version 3.4.12.0

Nemetschek Scia 2012

**Použitá výztuž - směr Y**  
 Průměr spodní a horní výztuže

$$\Phi_1 = 16.0 \text{ mm}$$

$$\Phi_2 = 16.0 \text{ mm}$$

**Tahová výztuž  $\geq A_{sy1req}$**

$$A_{sy1} \geq A_{sy1req} \Rightarrow A_{sy1} \geq 311 \cdot 10^{-5} \text{ m}^2$$

$$\text{Navrženo } 2 \times 16 \text{ mm} \quad A_{sy1} = n_1 \cdot \frac{\pi \Phi_1^2}{4} = 2 \cdot \frac{3.14 \cdot 0.016^2}{4} = 402 \cdot 10^{-5} \text{ m}^2$$

**Tlaková výztuž  $\geq A_{sy2req}$**

$$A_{sy2} \geq A_{sy2req} \Rightarrow A_{sy2} \geq 311 \cdot 10^{-5} \text{ m}^2$$

$$\text{Navrženo } 2 \times 16 \text{ mm} \quad A_{sy2} = n_2 \cdot \frac{\pi \Phi_2^2}{4} = 2 \cdot \frac{3.14 \cdot 0.016^2}{4} = 402 \cdot 10^{-5} \text{ m}^2$$